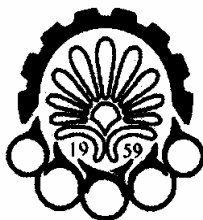


بِسْمِ اللّٰهِ الرَّحْمٰنِ الرَّحِيْمِ



دانشگاه صنعتی امیرکبیر

دانشکده مهندسی نساجی

پایان نامه دکتری

مهندسی تکنولوژی نساجی

عنوان:

بررسی تأثیر تراکم بافت پارچه تاری-پودی لوله ای بر رفتار خستگی کششی  
تحت بارگذاری سیکلی

نگارش:

آزیتا آسايش

استاد راهنما:

دکتر علی اصغر اصغریان جدی

اساتید مشاور:

دکتر سید سلمان نورآذر، دکتر محمد تفضلی شادپور

۱۳۸۶ دی

بسمه تعالی

شماره:

تاریخ:

فرم اطلاعات پایان نامه  
کارشناسی ارشد و دکترا



معاونت پژوهشی  
فرم پروژه تحصیلات تكمیلی

دانشگاه صنعتی امیر کبیر  
(پلی تکنیک تهران)

معادل  بورسیه  دانشجوی آزاد  
رشته تحصیلی: مهندسی نساجی

مشخصات دانشجو  
نام و نام خانوادگی: آزیتا آسايش  
شماره دانشجویی: ۸۰۱۲۸۹۳۳

نام و نام خانوادگی استاد راهنما: دکتر علی اصغر اصغریان جدی

عنوان به فارسی: بررسی تأثیر تراکم بافت پارچه تاری-پودی لوله ای بر رفتار خستگی کششی تحت بارگذاری سیکلی  
عنوان به انگلیسی: An Investigation to the Effect of Weave Density of Woven Tubular Fabric on Tensile Fatigue  
Behaviour under Cyclic Loading

نظری  توسعه‌ای  بنیادی  کاربردی  نوع پروژه: دکترا

تعداد واحد: ۲۴ واحد تاریخ خاتمه: ۸۶/۱۱/۱ تاریخ شروع: ۸۴/۲/۱۱  
سازمان تامین کننده اعتبار:

واژگان کلیدی به فارسی: پارچه تاری-پودی، تراکم بافت، خستگی کششی، پارچه لوله ای  
واژگان کلیدی به انگلیسی: Woven Fabric, Weave Density, Tensile Fatigue, Tubular Fabric

نظرها و پیشنهادها به منظور بهبود فعالیت پژوهشی دانشگاه:  
استاد راهنما:  
دانشجو:

تاریخ: امضاء استاد راهنما:

نسخه ۱: معاونت پژوهشی  
نسخه ۲: کتابخانه و به انضمام دو جلد پایان نامه به منظور تسویه حساب با کتابخانه و مرکز اسناد و مدارک علمی

دانشکده مهندسی نساجی  
گواهی اتمام رساله



دانشگاه صنعتی امیرکبیر  
(پیو تکنیک)

بدینوسیله گواهی میشود پایان نامه پیوست توسط آریتا آسایش دماوندی عنوان رساله :

بررسی تاثیر تراکم بافت پارچه تاری - پودی لوله ای بر رفتار خستگی کششی تحت بار  
گذاری سیکلی

به ارزش ۲۴ واحد به منظور قسمتی از نیازهای دریافت درجه دکتری در دانشکده مهندسی نساجی دانشگاه صنعتی امیرکبیر ارائه گردیده است. این پایان نامه نتیجه تحقیقات شخصی نامبرده میباشد که زیر نظر اینجانب دکتر علی اصغر اصغریان جدی و به مشاورت آقایان دکتر سید سلمان نور آذر و دکتر محمد تفضلی شاد پور انجام گرفته است.

استاد راهنمای: دکتر علی اصغر اصغریان جدی

تحقیق فوق در جلسه دفاعیه مورخ ۱۱/۱/۸۶ به منظور دریافت درجه دکتری مورد بررسی و تایید قرار گرفت.

متحنین :

دکتر هوشنگ نصرتی

دکتر کامران دهقانی

دکتر سید عبدالکریم حسینی صوبه

دکتر جمشید آقا زاده

تقدیم به:

پدر و مادر عزیزم که تمام موفقیت های خود را مدیون راهنمایی ها و حمایت ایشان  
می دانم.

## تقدیر و تشکر

بدینوسیله بر خود لازم می دانم که از راهنمایی های ارزشمند استاد گرانقدر، جناب آقای دکتر علی اصغر اصغریان جدی و نیز مشاوره اساتید محترم، جناب آقایان دکتر سید سلمان نور آذر و دکتر محمد تفضلی شادپور کمال تشکر و سپاس را داشته باشم.

همچنین از همکاری و مشاوره صمیمانه جناب آقایان دکتر پرویز قدیمی و مهندس سعید حمزه، نهایت سپاس و امتنان را دارم.

در پایان لازم می دانم از مساعدت کلیه دوستان، همکاران و مریبان کارگاه ها و آزمایشگاه های دانشکده مهندسی نساجی و مهندسی پزشکی به ویژه جناب آقایان روهینا و مهندس هوشیار و سرکار خانم رضایی تشکر نمایم.

## چکیده

در این تحقیق یک مدل تئوری جهت پیش بینی رفتار خزش و یک مدل تئوری دیگر جهت پیش بینی رفتار خستگی کششی پارچه تاری - پودی با بافت تافته، با استفاده از مدل‌های ویسکوالاستیک (مدل کلوین سری با فنر و مدل سه جزیی آیرینگ) و مدل ساختمانی پرس ارائه شده است. در این دو مدل می‌توان رفتار خزش و خستگی پارچه را بر اساس رفتار خزش و خستگی نخ و پارامترهای ساختمانی - مکانیکی پارچه پیش بینی کرد.

به منظور تائید مدل‌های تئوری، پارچه‌های لوله‌ای با تراکم‌های تاری و پودی مختلف تولید گردید. جهت انجام آزمایشات خزش و خستگی، از دستگاه آزمایش دینامیکی مواد استفاده شد. نتایج نشان می‌دهد که با افزایش تراکم پودی، مقادیر تجربی و تئوری خزش و نیز خستگی پارچه در جهت پودی کاهش می‌یابد. همچنین با افزایش تراکم تاری، مقادیر تجربی و تئوری از دیاد طول پارچه کاهش یافته و در نتیجه خستگی پارچه در جهت پودی کاهش می‌یابد. مقایسه درصد اختلاف خزش تجربی با تئوری و همچنین روند تغییرات از دیاد طول با زمان در دو مدل بیانگر این مطلب است که مدل سه جزیی آیرینگ رفتار خزش پارچه‌ها را بهتر از مدل کلوین سری با فنر نشان می‌دهد و پیش بینی رفتار خزش این پارچه‌ها با استفاده از مدل آیرینگ از توافق خوبی با منحنی‌های تجربی خزش برخوردار می‌باشد.

مشاهده می‌شود که پیش بینی رفتار خستگی پارچه‌ها با استفاده از مدل کلوین سری با فنر و مدل آیرینگ یکسان می‌باشد. همچنین در صد اختلاف خستگی تجربی با تئوری بیانگر این مطلب است که پیش بینی رفتار خستگی این پارچه‌ها با استفاده از مدل‌های ارائه شده از توافق خوبی با منحنی‌های تجربی خستگی برخوردار می‌باشد. بدین ترتیب مدل سه جزیی آیرینگ به عنوان مدلی مناسب جهت پیش بینی رفتار پارچه تاری - پودی با بافت تافته تحت بارگذاری استاتیکی و دینامیکی پیشنهاد می‌شود. ضمناً برای بررسی تغییرات خواص مکانیکی پارچه‌ها (مدول ذخیره شده، مدول تلف شده و قابلیت دمپینگ)، آزمایش خستگی پارچه‌ها با تراکم‌های پودی مختلف در دو کرنش و فرکانس بارگذاری توسط دستگاه DMA انجام شد. نتایج تجربی نشان می‌دهند که با افزایش تراکم بافت و نیز کرنش بارگذاری، مدول ذخیره شده و مدول تلف شده پارچه افزایش می‌یابند. همچنین با افزایش فرکانس بارگذاری، مدول ذخیره شده، مدول تلف شده و قابلیت دمپینگ پارچه کاهش می‌یابند. ضمناً افزایش زمان موجب افزایش مدول ذخیره شده می‌گردد در حالیکه قابلیت دمپینگ پارچه را کاهش می‌دهد. مدل‌های تئوری و همچنین نتایج تجربی نشان می‌دهند که می‌توان از دیاد طول پارچه تحت نیروی ثابت و سیکلی (خزش و خستگی) را در سه مرحله تشریح نمود؛ مرحله اول، باز شدن موج نخ در پارچه

(موجی که در اثر بافت رفتگی در نخ بوجود آمده است) که ناشی از حرکت و جابجایی نخها در داخل پارچه است. مرحله دوم، بازشدن موج نخ (موج ناشی از عملیات تکسچرایزینگ نخ)، و مرحله سوم، ازدیاد طول نخ می باشد.

کلید واژه ها: پارچه تاری- پودی (Woven Fabric)، تراکم بافت (Weave Density)، کششی (Tensile Fatigue)، پارچه لوله ای (Tubular Fabric).

## فهرست مطالب

صفحه	عنوان
۱	مقدمه
۳	<b>فصل اول: مطالعات انجام شده قبلی</b>
۳	۱- روشهای مختلف تولید پارچه های لوله ای شکل
۳	۱-۱- تولید پارچه های لوله ای شکل در سیستم تاری - پودی
۳	۱-۲- تولید پارچه های لوله ای در سیستم حلقوی تاری
۴	۱-۳- تولید پارچه های لوله ای در سیستم حلقوی پودی
۴	۱-۴- تولید پارچه های لوله ای در سیستم بریدینگ
۵	۲-۱- معرفی رگهای مصنوعی
۵	۲-۱-۱- ساختارهای مورد استفاده در تولید رگهای مصنوعی پارچه ای
۵	۲-۱-۲-۱- رگهای مصنوعی پارچه ای با ساختار تاری - پودی
۵	۲-۱-۲-۲-۱- رگهای مصنوعی پارچه ای با ساختار حلقوی (حلقوی تاری و حلقوی پودی)
۶	۲-۲-۱- خصوصیات رگهای مصنوعی
۶	۲-۲-۲-۱- قابلیت اتساع یا الاستیسیته شعاعی (Compliance)
۷	۲-۲-۲-۲-۱- مقاومت در برابر خستگی (Fatigue resistance)
۷	۳-۱-۱- عیوب رگهای مصنوعی
۷	۳-۱-۲-۱- ناهمانگی قابلیت اتساع
۸	۳-۲-۱- طول عمر کوتاه
۹	۳-۱-۱- خستگی (Fatigue)
۹	۳-۱-۲- تعریف خستگی
۹	۳-۱-۳- اهمیت انجام آزمایش خستگی
۱۰	۳-۱-۳-۱- مفاهیم مربوط به خستگی
۱۰	۳-۱-۳-۲-۱- طول عمر خستگی (Fatigue life)
۱۰	۳-۱-۳-۳-۱- حد خستگی (Fatigue limit)
۱۰	۳-۱-۳-۳-۲- استحکام خستگی (Fatigue Strength)
۱۰	۳-۱-۳-۴- نسبت خستگی (Fatigue ratio)
۱۱	۴-۱- ویسکوالاستیسیته
۱۲	۴-۱-۱- مدلهای ویسکوالاستیک
۱۲	۴-۱-۵- مطالعات انجام شده در زمینه خزش
۱۵	۴-۱-۶- مطالعات انجام شده در زمینه خستگی

## فهرست مطالب

صفحه	عنوان
۱۵	۱-۶-۱- مطالعات انجام شده در زمینه خستگی الیاف
۱۵	۱-۶-۲- مطالعات انجام شده در زمینه خستگی نخها
۱۶	۱-۶-۳- مطالعات انجام شده در زمینه خستگی پارچه ها
۱۷	۱-۶-۴- مطالعات انجام شده در زمینه خستگی رگهای مصنوعی
۱۸	۱-۶-۵- تأثیر تعداد سیکلهای آزمایش بر خستگی رگهای مصنوعی
۲۲	۱-۶-۶- تأثیر سرعت آزمایش بر خستگی رگهای مصنوعی
۲۴	۱-۶-۷- تأثیر طرح بافت بر خستگی رگهای مصنوعی
	<b>فصل دوم: پژوهش های تئوری و تجربی</b>
۲۶	۲-۱- تئوری خرزش
۲۶	۲-۱-۱- مدلسازی رفتار خرزش پارچه تاری- پودی با بافت تافته بر اساس رفتار خرزش نخ و پارامتر های ساختمانی- مکانیکی پارچه با استفاده از مدل کلوین سری با فنر
۲۹	۲-۱-۲- مدلسازی رفتار خرزش پارچه تاری- پودی با بافت تافته بر اساس رفتار خرزش نخ و پارامتر های ساختمانی- مکانیکی پارچه با استفاده از مدل آیرینگ
۳۳	۲-۲- تئوری خستگی
۳۳	۲-۲-۱- مدلسازی رفتار خستگی پارچه تاری- پودی با بافت تافته بر اساس رفتار خستگی نخ و پارامتر های ساختمانی- مکانیکی پارچه با استفاده از مدل کلوین سری با فنر
۳۵	۲-۲-۲- مدلسازی رفتار خستگی پارچه تاری- پودی با بافت تافته بر اساس رفتار خستگی نخ و پارامتر های ساختمانی- مکانیکی پارچه با استفاده از مدل سه جزیی آیرینگ
۴۱	۲-۳- تولید پارچه های لوله ای شکل
۴۱	۲-۳-۱- بررسی مشخصات یک نمونه رگ مصنوعی
۴۱	۲-۳-۲- مشخصات ماشین بافندگی مورد استفاده برای بافت پارچه های لوله ای
۴۴	۲-۳-۳- بافت پارچه ها
۴۴	۲-۳-۴- شستشوی پارچه ها
۴۵	۲-۴- دستگاه های آزمایش خستگی
۴۵	۲-۴-۱- دستگاه DMA (Dynamic mechanical analyser)
۴۶	۲-۴-۲- دستگاه آزمایش دینامیکی مواد(Dynamic material testing device)
۴۸	۲-۵- آزمایشات
۴۸	۲-۵-۱- تعیین نمره نخ های تار و پود
۴۸	۲-۵-۲- تعیین استحکام نخ های تار و پود

## فهرست مطالب

صفحه	عنوان
۴۸	-۳-۵-۲- تعیین تراکم تاری و پودی پارچه ها
۴۹	-۴-۵-۲- تعیین استحکام پارچه ها
۵۰	-۵-۵-۲- آزمایش خروش
۵۰	-۱-۵-۵-۲- آزمایش خروش نخ با دستگاه آزمایش دینامیکی مواد
۵۴	-۲-۵-۵-۲- آزمایش خروش پارچه با دستگاه آزمایش دینامیکی مواد
۵۴	-۶-۵-۲- آزمایش خستگی
۵۴	-۱-۶-۵-۲- دلایل انتخاب دستگاه جهت انجام آزمایشات خستگی
۶۱	-۲-۶-۵-۲- دلایل انتخاب دستگاه آزمایش دینامیکی مواد(Dynamic material testing device) جهت انجام آزمایشات خستگی
۶۱	-۱-۲-۶-۵-۲- آزمایش خستگی نخ با دستگاه آزمایش دینامیکی مواد
۶۶	-۲-۲-۶-۵-۲- آزمایش خستگی پارچه با دستگاه آزمایش دینامیکی مواد
۶۶	-۷-۵-۲- اندازه گیری طول نخ پود مدل
۶۷	-۸-۵-۲- تعیین زاویه بافت نخ پود
	<b>فصل سوم: تجزیه و تحلیل نتایج</b>
۶۸	-۱-۳- نتایج خروش
۶۸	-۱-۱-۳- نتایج خروش پارچه تاری- پودی با بافت تافته بر اساس مدل کلوین سری با فنر
۷۲	-۲-۱-۳- نتایج خروش پارچه تاری- پودی با بافت تافته بر اساس مدل سه جزئی آیرینگ
۷۸	-۳-۱-۳- مقایسه مدل سه جزئی آیرینگ با مدل کلوین سری با فنر
۸۰	-۲-۳- نتایج خستگی
۸۰	-۱-۲-۳- نتایج آزمایش خستگی پارچه با دستگاه DMA
۸۰	-۱-۱-۲-۳- مدول ذخیره شده
۸۲	-۲-۱-۲-۳- مدول تلف شده
۸۴	-۳-۱-۲-۳- قابلیت دمپینگ
۸۶	-۴-۱-۲-۳- درصد ازدیاد طول پارچه
۸۸	-۲-۲-۳- نتایج آزمایش خستگی پارچه با دستگاه آزمایش دینامیکی مواد
۸۸	-۱-۲-۲-۳- تأثیر تراکم پودی بر رفتار خستگی پارچه تاری- پودی در جهت پودی
۹۰	-۲-۲-۲-۳- تأثیر تراکم تاری بر رفتار خستگی پارچه تاری- پودی در جهت پودی
۹۵	-۳-۲-۲-۳- نتایج خستگی پارچه تاری- پودی با بافت تافته بر اساس مدل سه جزئی آیرینگ
۱۰۶	-۴-۲-۲-۳- نتایج خستگی پارچه تاری- پودی با بافت تافته بر اساس مدل کلوین سری با فنر

## فهرست مطالب

عنوان	صفحة
نتیجه گیری	۱۰۷
پیشنهادات	۱۰۹
مراجع	۱۱۰
ضمائمه	

## فهرست شکل ها

صفحه	عنوان
۱۴	شکل (۱-۱): مدل مکانیکی بیانگر رفتار خرس و بازگشت از خرس
۲۱	شکل (۲-۱): تغییرات قطر معادل سیستولیک ( $D_{e,syst}$ ) و دیاستولیک ( $D_{e,diast}$ ) بر حسب سیکلهای بارگذاری، مربوط به نمونه CK16A1 (اندازه‌گیری در اولین دقیقه آزمایش و نیز هر ۵۰۰ سیکل یکبار انجام شده است)
۲۲	شکل (۳-۱): قابلیت اتساع شعاعی رگ مصنوعی از جنس پلی‌بورتان
۲۳	شکل (۴-۱): قابلیت اتساع شعاعی رگ مصنوعی از جنس لاتکس
۲۴	شکل (۵-۱): مدول کششی رگ مصنوعی از جنس پلی‌بورتان
۲۴	شکل (۶-۱): مدول کششی رگ مصنوعی از جنس لاتکس
۲۶	شکل (۱-۲): مدل کلوین سری با فتر
۲۷	شکل (۲-۲): مدل کلوین سری با فتر تعیین یافته
۲۸	شکل (۳-۲): مدل پرس برای پارچه تاری - پودی با بافت تافته
۲۹	شکل (۴-۲): مدل سه جزئی آیرینگ
۳۱	شکل (۵-۲): مدل آیرینگ تعیین یافته
۴۲	شکل (۶-۲): سیستم کنترل کشش نخ های تار
۴۳	شکل (۷-۲): مکانیزم نگاه دارنده لبه پارچه
۴۴	شکل (۸-۲): ماکوی بافندگی
۴۵	شکل (۹-۲): دستگاه DMA
۴۷	شکل (۱۰-۲): دستگاه تست دینامیکی مواد
۵۱	شکل (۱۱-۲): فکهای نصب شده بر روی دستگاه آزمایش دینامیکی مواد
۵۲	شکل (۱۲-۲): منحنی های خرس نخ پود
۵۲	شکل (۱۳-۲): منحنی میانگین خرس نخ پود
۵۳	شکل (۱۴-۲): برآش مدل کلوین سری با فتر به نتایج تجربی خرس نخ
۵۴	شکل (۱۵-۲): برآش مدل سه جزئی آیرینگ به نتایج تجربی خرس نخ
۵۵	شکل (۱۶-۲) A : طرح کلی دستگاه آزمایش خستگی رگهای مصنوعی B: ارتباط بین نیروی واردہ به نمونه (f) با تنش روی دیواره (P) در حالت تعادل C: ارتباط تنش $\sigma_e$ با فشار P در رگهای مصنوعی جدار نازک
۵۷	شکل (۱۷-۲): قطعه ساخته شده جهت نصب بر روی DMA
۵۸	شکل (۱۸-۲): ارتباط بین نیروی واردہ به نمونه (F) با تنش روی دیواره (σ <sub>e</sub> ) در حالت تعادل
۵۹	شکل (۱۹-۲): موج فشار خون در حالت فشار نرمال
۶۲	شکل (۲۰-۲): منحنی های خستگی نخ پود
۶۳	شکل (۲۱-۲): منحنی میانگین خستگی نخ پود
۶۴	شکل (۲۲-۲): برآش مدل کلوین سری با فتر به نتایج تجربی خستگی نخ
۶۵	شکل (۲۳-۲): برآش مدل سه جزئی آیرینگ به نتایج تجربی خستگی نخ
۶۸	شکل (۱-۳): تأثیر تراکم پودی بر خرس تجربی پارچه ها در امتداد پودی

## فهرست شکل ها

صفحه	عنوان
۶۹	شکل (۲-۳): تأثیر تراکم پودی بر خزش تئوری (مدل کلوین سری با فنر) پارچه ها در امتداد پودی
۷۰	شکل (۳-۳)- خزش تجربی و تئوری (مدل کلوین سری با فنر) پارچه با تراکم پودی cm/پود ۲۴
۷۱	شکل (۴-۳)- خزش تجربی و تئوری (مدل کلوین سری با فنر) پارچه با تراکم پودی cm/پود ۲۵
۷۱	شکل (۵-۳)- خزش تجربی و تئوری (مدل کلوین سری با فنر) پارچه با تراکم پودی cm/پود ۲۶
۷۲	شکل (۶-۳)- خزش تجربی و تئوری (مدل کلوین سری با فنر) پارچه با تراکم پودی cm/پود ۲۸
۷۲	شکل (۷-۳)- خزش تجربی و تئوری (مدل کلوین سری با فنر) پارچه با تراکم پودی cm/پود ۲۹
۷۴	شکل (۸-۳): تأثیر تراکم پودی بر خزش تئوری (مدل آیرینگ) پارچه ها در امتداد پودی
۷۵	شکل (۹-۳)- خزش تجربی و تئوری (مدل آیرینگ) پارچه با تراکم پودی cm/پود ۲۴
۷۵	شکل (۱۰-۳)- خزش تجربی و تئوری (مدل آیرینگ) پارچه با تراکم پودی cm/پود ۲۵
۷۶	شکل (۱۱-۳)- خزش تجربی و تئوری (مدل آیرینگ) پارچه با تراکم پودی cm/پود ۲۶
۷۶	شکل (۱۲-۳)- خزش تجربی و تئوری (مدل آیرینگ) پارچه با تراکم پودی cm/پود ۲۸
۷۷	شکل (۱۳-۳)- خزش تجربی و تئوری (مدل آیرینگ) پارچه با تراکم پودی cm/پود ۲۹
۸۱	شکل (۱۴-۳): تغییرات مدول ذخیره شده پارچه های تاری-پودی با تراکم پودی مختلف با زمان (a) کرنش ۵٪، فرکانس ۱ هرتز؛ (b) کرنش ۱٪، فرکانس ۱ هرتز؛ (c) کرنش ۱٪، فرکانس ۳ هرتز
۸۳	شکل (۱۵-۳): تغییرات مدول تلف شده پارچه های تاری-پودی با تراکم پودی مختلف با زمان (a) کرنش ۵٪، فرکانس ۱ هرتز؛ (b) کرنش ۱٪، فرکانس ۱ هرتز؛ (c) کرنش ۱٪، فرکانس ۳ هرتز
۸۵	شکل (۱۶-۳): تغییرات قابلیت دمپنگ پارچه های تاری-پودی با تراکم پودی مختلف با زمان (a) کرنش ۵٪، فرکانس ۱ هرتز؛ (b) کرنش ۱٪، فرکانس ۱ هرتز؛ (c) کرنش ۱٪، فرکانس ۳ هرتز
۸۷	شکل (۱۷-۳): درصد افزایاد طول پارچه های تاری-پودی با تراکم پودی مختلف در انتهای آزمایش خستگی (a) کرنش ۵٪، فرکانس ۱ هرتز؛ (b) کرنش ۱٪، فرکانس ۱ هرتز؛ (c) کرنش ۱٪، فرکانس ۳ هرتز
۸۸	شکل (۱۸-۳): تأثیر تراکم پودی بر خستگی تجربی پارچه ها با تراکم تاری ۳۱ در امتداد پودی
۸۹	شکل (۱۹-۳): تأثیر تراکم پودی بر خستگی تجربی پارچه ها با تراکم تاری ۳۴ در امتداد پودی
۸۹	شکل (۲۰-۳): تأثیر تراکم پودی بر خستگی تجربی پارچه ها با تراکم تاری ۳۷ در امتداد پودی
۹۱	شکل (۲۱-۳): تأثیر تراکم تاری بر خستگی تجربی پارچه ها با تراکم پودی cm/پود ۲۴ در امتداد پودی
۹۱	شکل (۲۲-۳): تأثیر تراکم تاری بر خستگی تجربی پارچه ها با تراکم پودی cm/پود ۲۵ در امتداد پودی
۹۲	شکل (۲۳-۳): تأثیر تراکم تاری بر خستگی تجربی پارچه ها با تراکم پودی cm/پود ۲۶ در امتداد پودی
۹۲	شکل (۲۴-۳): تأثیر تراکم تاری بر خستگی تجربی پارچه ها با تراکم پودی cm/پود ۲۸ در امتداد پودی
۹۳	شکل (۲۵-۳): تأثیر تراکم تاری بر خستگی تجربی پارچه ها با تراکم پودی cm/پود ۲۹ در امتداد پودی
۹۶	شکل (۲۶-۳): خستگی تجربی و تئوری پارچه با تراکم تاری cm/تار ۳۷ و تراکم پودی cm/پود ۲۹ در امتداد پودی
۹۶	شکل (۲۷-۳): خستگی تجربی و تئوری پارچه با تراکم تاری cm/تار ۳۱ و تراکم پودی cm/پود ۲۵ در امتداد پودی
۹۷	شکل (۲۸-۳): خستگی تجربی و تئوری پارچه با تراکم تاری cm/تار ۳۱ و تراکم پودی cm/پود ۲۴ در امتداد پودی
۹۸	شکل (۲۹-۳): خستگی تجربی و تئوری پارچه با تراکم تاری cm/تار ۳۱ و تراکم پودی cm/پود ۲۵ در امتداد پودی
۹۸	شکل (۳۰-۳): خستگی تجربی و تئوری پارچه با تراکم تاری cm/تار ۳۱ و تراکم پودی cm/پود ۲۶ در امتداد پودی
۹۹	شکل (۳۱-۳): خستگی تجربی و تئوری پارچه با تراکم تاری cm/تار ۳۱ و تراکم پودی cm/پود ۲۸ در امتداد پودی
۹۹	شکل (۳۲-۳): خستگی تجربی و تئوری پارچه با تراکم تاری cm/تار ۳۱ و تراکم پودی cm/پود ۲۹ در امتداد پودی

## فهرست شکل ها

صفحه	عنوان
۱۰۰	شکل (۳۳-۳): خستگی تجربی و تنوری پارچه با تراکم تاری $\text{cm}/\text{تار} ۳۴$ و تراکم پودی $\text{cm}/\text{پود} ۲۴$ در امتداد پودی
۱۰۰	شکل (۳۴-۳): خستگی تجربی و تنوری پارچه با تراکم تاری $\text{cm}/\text{تار} ۳۴$ و تراکم پودی $\text{cm}/\text{پود} ۲۵$ در امتداد پودی
۱۰۱	شکل (۳۵-۳): خستگی تجربی و تنوری پارچه با تراکم تاری $\text{cm}/\text{تار} ۳۴$ و تراکم پودی $\text{cm}/\text{پود} ۲۶$ در امتداد پودی
۱۰۱	شکل (۳۶-۳): خستگی تجربی و تنوری پارچه با تراکم تاری $\text{cm}/\text{تار} ۳۴$ و تراکم پودی $\text{cm}/\text{پود} ۲۸$ در امتداد پودی
۱۰۲	شکل (۳۷-۳): خستگی تجربی و تنوری پارچه با تراکم تاری $\text{cm}/\text{تار} ۳۴$ و تراکم پودی $\text{cm}/\text{پود} ۲۹$ در امتداد پودی
۱۰۲	شکل (۳۸-۳): خستگی تجربی و تنوری پارچه با تراکم تاری $\text{cm}/\text{تار} ۳۷$ و تراکم پودی $\text{cm}/\text{پود} ۲۴$ در امتداد پودی
۱۰۳	شکل (۳۹-۳): خستگی تجربی و تنوری پارچه با تراکم تاری $\text{cm}/\text{تار} ۳۷$ و تراکم پودی $\text{cm}/\text{پود} ۲۵$ در امتداد پودی
۱۰۳	شکل (۴۰-۳): خستگی تجربی و تنوری پارچه با تراکم تاری $\text{cm}/\text{تار} ۳۷$ و تراکم پودی $\text{cm}/\text{پود} ۲۶$ در امتداد پودی
۱۰۴	شکل (۴۱-۳): خستگی تجربی و تنوری پارچه با تراکم تاری $\text{cm}/\text{تار} ۳۷$ و تراکم پودی $\text{cm}/\text{پود} ۲۸$ در امتداد پودی
۱۰۴	شکل (۴۲-۳): خستگی تجربی و تنوری پارچه با تراکم تاری $\text{cm}/\text{تار} ۳۷$ و تراکم پودی $\text{cm}/\text{پود} ۲۹$ در امتداد پودی

## فهرست جداول

صفحه	عنوان
	<b>فصل اول: مطالعات انجام شده قبلی</b>
۱۹	جدول (۱-۱): نتایج حاصل از آزمایش خستگی بر روی رگهای مصنوعی
۱۹	جدول (۲-۱): مشخصات نمونه‌های مورد آزمایش
۲۱	جدول (۳-۱): نتایج حاصل از آزمایشات در فشار معمولی (۷۶-۱۲۵ mmHg)
۲۲	جدول (۴-۱): نتایج حاصل از آزمایشات در فشار بالا (۱۱۰-۱۹۰ mmHg)
	<b>فصل دوم: پژوهش‌های تنوری و تجربی</b>
۴۱	جدول (۱-۲): مشخصات رگ مصنوعی مورد بررسی
۴۸	جدول (۲-۲): مشخصات نخ‌های مورد استفاده جهت بافت پارچه لوله ای
۴۹	جدول (۳-۲): تراکم تاری و پودی پارچه‌های لوله ای
۵۰	جدول (۴-۲): استحکام پارچه‌های لوله ای در جهت پودی
	<b>فصل سوم: تجزیه و تحلیل نتایج</b>
۷۰	جدول (۱-۳): مقادیر p-value برای تراکم‌های پودی مختلف (آزمایش خرزش)
۷۳	جدول (۲-۳): درصد اختلاف خرزش تجربی و تنوری (مدل کلوین سری با فنر) پارچه‌ها با تراکم‌های پودی مختلف
۷۷	جدول (۳-۳): درصد اختلاف خرزش تجربی و تنوری (مدل آیرینگ) پارچه‌ها با تراکم‌های پودی مختلف
۷۸	جدول (۴-۳)- درصد خطای حاصل از مدل آیرینگ و مدل کلوین سری با فنر
۹۴	جدول (۵-۳): مقادیر p-value برای تراکم‌های پودی مختلف (آزمایش خستگی)
۹۵	جدول (۶-۳): مقادیر p-value برای تراکم‌های تاری مختلف (آزمایش خستگی)
۱۰۵	جدول (۷-۳): درصد اختلاف خستگی تجربی و تنوری پارچه‌ها با تراکم‌های تاری و پودی مختلف

## مقدمه

پدیده خستگی در همه مواد تحت بارگذاری سیکلی از جمله فلزات، پلیمرها، کامپوزیت‌ها، الاستومرها، اجزاء ساختمانی، سرامیک‌ها و بالاخره کالاهای نساجی اتفاق می‌افتد. منبع ایجاد خستگی در مواد، اعمال بارگذاری سیکلی می‌باشد و در بسیاری از مواد و قطعات منجر به شکست یا گسیختگی قطعه می‌شود به گونه‌ای که در اکثر آزمایشات خستگی مواد، شکست یا گسیختگی به عنوان شاخص اصلی پدیده خستگی در نظر گرفته می‌شود.

در برخی از مواد و بعضی از کاربردها، ماده یا قطعه قبل از اینکه دچار خرابی مشهود نظیر پارگی یا شکست شود به عنوان ماده یا قطعه غیرقابل استفاده شناخته شده و قطعه جدیدی جایگزین آن می‌شود. زیرا مواد از نظر خواص مکانیکی و کاربرد با یکدیگر متفاوت هستند. به عنوان مثال می‌توان به مواد نساجی یا مواد پلیمری اشاره کرد که به دلیل رفتار ویسکوالاستیک، وقتی که تحت تنش و به ویژه تنشهای سیکلی قرار می‌گیرند، خواص مکانیکی آنها تغییر کرده به طوری که پس از مدتی تحمل تنشهای سیکلی، دیگر قادر به انجام وظیفه در نظر گرفته شده نبوده و یا اینکه در کار خود دچار ضعف و سستی می‌گرددند. از این نوع خواص مکانیکی قابل زوال می‌توان به مدول کششی، مدول خمشی، خرزش و مقاومت کششی اشاره کرد.

در عرصه مصارف محصولات صنعت نساجی، علاوه بر البسه، پوشاسک و مصارف صنعتی، امروزه محصولاتی در صنایع نساجی تولید می‌شوند که کاربرد پزشکی و زیستی دارند. برخی از این تولیدات از دیرباز تولید می‌شده‌اند، نظیر باند گاز برای بستن زخم‌ها، باندهای کششی، چسب زخم و نخ بخیه که یکی از محصولات نساجی پر مصرف در جراحی می‌باشد. در کنار تولید این محصولات، پارچه‌هایی در صنعت نساجی تولید می‌شوند که برخلاف محصولات فوق که به صورت مقطعی در پزشکی مورد استفاده قرار می‌گیرند، به عنوان قطعات یدکی و جایگزین اعضای مهم بدن مورد استفاده قرار گرفته و یا به عنوان یک عامل کمکی اعضای اصلی در بدن انسان نصب می‌شوند. به عنوان مثال می‌توان به پارچه‌های لوله‌ای جایگزین رگ (رگ مصنوعی)، پارچه‌های جایگزین دریچه قلب، تاندون مصنوعی و کیسه پارچه‌ای نگهدارنده قلب اشاره کرد.

از میان محصولات نساجی مورد مصرف در پزشکی که در بالا به آنها اشاره شده است، رگهای مصنوعی از اهمیت ویژه‌ای برخوردارند. رگهای مصنوعی پارچه‌ای که معمولاً به روش تاری-پودی و یا حلقوی و از نخهای پلی‌استر و یا تفلون تولید می‌شوند به دلیل ساختار و ویژگیهای خاص خود جایگزین

مناسبی برای رگهای طبیعی در جایی که به علت بیماری‌های شریانی، رگ طبیعی قادر به انجام وظیفه خود به عنوان مجرای خون نیست، می‌باشد.

مشکل اساسی و عمدۀ در استفاده از رگهای مصنوعی، اغتشاش جریان خون در ناحیه اتصال رگ طبیعی به رگ مصنوعی است. این اغتشاش در جریان خون، ناشی از اختلاف قابلیت اتساع رگ طبیعی با رگ مصنوعی و تغییر فرم پلاستیک قطر (افزایش قطر غیر قابل بازگشت) رگ مصنوعی پس از انجام پیوند است. به عبارت دیگر یکی از مشکلات و عیوب عمدۀ رگهای مصنوعی، خستگی آنها در مقابل تنشهای تکراری می‌باشد. زیرا در اثر جریان ضربانی خون در داخل رگ، دیواره رگ در معرض اعمال تنشهای سیکلی قرار می‌گیرد و این تنشهای سیکلی منجر به ایجاد خستگی در نخها و یا ساختار پارچه می‌شود و در نتیجه عملکرد رگ مصنوعی دچار ضعف و سستی می‌شود.

در زمینه خستگی پارچه‌های لوله‌ای مطالعات چندانی صورت نگرفته است. با توجه به اهمیت مسئله خستگی در پارچه‌های لوله‌ای خصوصاً رگهای مصنوعی، در این پژوهه خستگی پارچه‌های لوله‌ای مورد بررسی قرار خواهد گرفت.

فصل اول:

مطالعات انجام شده قبلی

## ۱-۱- روشهای مختلف تولید پارچه های لوله ای شکل

### ۱-۱-۱- تولید پارچه های لوله ای شکل در سیستم تاری- پودی

پارچه های لوله ای شکل برای ساخت شیلنگ های آتش نشانی، کیسه ها و ساک های بدون درز، رگ های مصنوعی و دیگر موارد مورد استفاده قرار می گیرند.

یک پارچه لوله ای شامل دو پارچه مجزا در رو و زیر می باشد به طوری که این دو پارچه بدون داشتن درز به یکدیگر وصل می شوند. به دلیل اینکه در پرواز از سمت چپ به راست ماکو، پود در پارچه رویی گذاشته می شود، و ماکو در پرواز از سمت راست به چپ پود پارچه زیری را در دهن قرار می دهد. هنگامی که پود پارچه بالایی گذاشته می شود تمام نخ های تار پارچه زیر در پایین قرار می گیرند، وقتی که پود پارچه زیری گذاشته می شود تمام نخ های تار پارچه روی در بالا قرار می گیرند. برای تولید پارچه لوله ای شکل بیشتر از بافت تافته استفاده می شود. برای بافت پارچه لوله ای شکل به دو سیستم نخ تار، برای پارچه رو و زیر و دو سیستم نخ پود نیاز است. دو سیستم نخ تار معمولاً روی یک چله بافندگی پیچیده می شوند، و پودگذاری در پارچه زیر و رو توسط یک ماکو صورت می گیرد [۱].

### ۱-۱-۲- تولید پارچه های لوله ای در سیستم حلقوی تاری

با دو میله سوزن، دو شانه تمام نخ کشی و یک شانه طرح که دو راهنمای تکی بر روی آن نصب شده است، یک پارچه لوله ای می تواند روی ماشین بافندگی دو میله سوزن بافته شود. برای تولید یک لوله با ساده ترین ساختمان پایه مثل حرکت لپینگ  $1 \times 1$ ، چهار شانه لازم است. یک شانه با نخ کشی کامل پارچه جلو را بر روی میله سوزن جلو می بافد، و یک شانه دیگر با نخ کشی کامل پارچه عقب را بر روی میله سوزن عقب تولید می کند. دو شانه میانی طرح در دو طرف پارچه اتصال بوجود می آورد.

تولید یک پارچه لوله ای انشعاب دار مانند رگ های مصنوعی، به تعداد شانه بیشتری نسبت به تولید پارچه های لوله ای ساده نیاز دارد. . ماشین بافندگی حلقوی تاری که برای تولید رگهای مصنوعی استفاده می شود به ۱۶ شانه مجهر است و گیج هر کدام از دو میله سوزن آن برابر ۳۰ سوزن زبانه دار در اینچ می باشد [۲].